

## Investigating Variation of Subunits of Gliadin Protein in Recombinant Inbred Lines Derived from Cross Between Zagros and Norstar Cultivars and Some Commercial Wheats

Nasrin Akbari<sup>1</sup>\*, Seyed Siamak Alavi Kia<sup>2,\*</sup> and Mostafa Valizadeh<sup>3</sup>

- 1- Ph.D., Department of Plant Breeding and Biotechnology, Faculty of Agriculture, University of Tabriz, Iran  
2- Associate Professor, Department of Plant Breeding and Biotechnology, Faculty of Agriculture, University of Tabriz, Iran  
3- Professor, Department of Plant Breeding and Biotechnology, Faculty of Agriculture, University of Tabriz, Iran

\*Corresponding author✉: [ss.alavikia@tabrizu.ac.ir](mailto:ss.alavikia@tabrizu.ac.ir)

**Citation:** Akbari, N., Alavi Kia, S.S. and Valizadeh, M. (2024). Investigating variation of subunits of gliadin protein in recombinant inbred lines derived from cross between Zagros and Norstar cultivars and some commercial wheats. *Plant Genetic Researches*, **10**(2): 91-102. <http://dx.doi.org/10.22034/PGR.10.2.7>

(Received: February 12, 2024; Final Revised: December 16, 2023; Accepted: December 26, 2023; Published online: March 17, 2024)

### Extended abstract

### Introduction

Due to world population incline and the increasing wheat consumption as human main staple food, as well as high amount of waste of bread which is mainly due to its low quality, the wheat breeding programs to improve bread quality are of great importance. Therefore, in line with wheat breeding programs aimed at enhancing wheat yield, attempts should be made to introduce wheat cultivars characterized by not only high yield but also superior bread-making quality. Hence, qualitative analysis of grains and exploring the genetic variation associated with bread-making quality characteristics in wheat breeding lines are of paramount importance. Banding pattern of grain storage proteins is a reliable tool for investigating genetic variability, and because of its repeatability, close relationship with bread-making quality and less susceptibility to environment, is especially noticeable for wheat breeders. Wheat gluten contains two types of proteins, gliadins and glutenins that constitute the main part of storage proteins of wheat grain. These two protein groups play a pivotal role, fundamentally contributing to the characteristics of wheat flour dough, thereby significantly influencing the bread-making quality of wheat flour. Alleles of gliadin subunits are used as reliable and capable markers in genetic studies. Considering uniqueness, relatively high polymorphism, repeatability of electropherogram and independence from environmental changes, gliadin proteins are appropriate tools for studying wheat germplasm and selection of high-quality wheats in terms of bread-making characteristics.

### Materials and methods

The gliadin protein banding pattern of 28 RILs, their parents (Zagros and Norstar cultivars) and 10 other commercial cultivars (Omid, Bezostaya, Roshan, Zarrin, Sabalan, Sardari, Gascogene, Navid, Inia, and Hirmand) were examined via A-PAGE method. For calculating relative distance of each band from the origin, the 50<sup>th</sup> gliadin band of Marquis wheat was employed as the control. The analysis of molecular variance (AMOVA) was accomplished via GenAIEx 6.4. using scoring data derived from the gliadins banding patterns of the studied genotypes. Considering the cultivars and lines as separate groups, the amount of within and between group variances, and polymorphic information content (PIC) were estimated. Principal coordinate analysis (PCoA) was



©2023 The author(s). This is an open access article distributed under [Creative Commons Attribution 4.0 International License \(CC BY 4.0\)](#), which permits use, sharing, adaptation, distribution and reproduction in any medium or format, as long as you give appropriate credit to the original author(s) and the source.

done for separating of the genotypes in terms of structure of gliadin patterns. The MEGA 5 software was employed for cluster analysis. Cluster analysis using banding pattern of gliadin proteins was accomplished via Nie genetic distances and based on ward's method. The Excel software was employed for drawing the pie charts and determining of frequency percent of  $\omega$ ,  $\alpha$ ,  $\beta$  and  $\gamma$  gliadins.

### Results and discussion

The results of this study revealed high variation for gliadins coding loci with total mean of 73.96%. The percentage of polymorphism was estimated to be 91.67 and 56.25 for lines and commercial cultivars, respectively. The minimum and maximum number of gliadin bands were 12 and 25 bands, respectively. Also, based on PhiPT statistics, the significant difference was observed ( $P<0.05$ ) between commercial cultivars and recombinant inbred lines in terms of gliadin banding patterns. Cluster analysis and PCoA via banding pattern of gliadins led to formation of three and four distinct groups, respectively. The highest variation was observed in  $\omega$ -gliadins, suggesting that they may have a role in observed variation among genotypes and their bread making-quality traits.

### Conclusion

The  $\omega$ -gliadins performed a greater role in observed variation among studied genotypes and their bread-making quality. The obtained variation explained the ability of banding pattern of gliadins in terms of separating of genotypes and assist to selection of superior genotypes in terms of bread-making quality from progenies and lines derived from wheat crosses.

**Keywords:** Grain reserve protein, Gliadin, Bread wheat, Molecular markers, A-PAGE



## بررسی تنوع زیرواحدهای پروتئین گلیادین در لاین‌های اینبرد نوترکیب حاصل از تلاقي ارقام زاگرس و نوراستار و برخی گندم‌های تجاری

نسرين اکبری<sup>۱</sup>، سيد سیامک علوی کیا<sup>۲\*</sup> و مصطفی ولیزاده<sup>۳</sup>

۱- دکتری تخصصی، گروه بهنژادی و بیوتکنولوژی گیاهی، دانشکده کشاورزی، دانشگاه تبریز

۲- دانشیار، گروه بهنژادی و بیوتکنولوژی گیاهی، دانشکده کشاورزی، دانشگاه تبریز

۳- استاد، گروه بهنژادی و بیوتکنولوژی گیاهی، دانشکده کشاورزی، دانشگاه تبریز

(تاریخ دریافت: ۱۴۰۲/۰۷/۲۳؛ تاریخ آخرین ویرایش: ۱۴۰۲/۰۹/۲۵؛ تاریخ پذیرش: ۱۴۰۲/۱۰/۰۵؛ تاریخ انتشار پرخط: ۱۴۰۲/۱۲/۲۸)

### چکیده

با توجه به افزایش جمعیت جهان و مصرف بالای گندم نان در جوامع بشری و همچنین بالا بودن ضایعات نان که بخش عمده آن ناشی از پایین بودن کیفیت آن است، برنامه‌های بهنژادی کیفیت گندم نان از اهمیت بالایی برخوردار هستند. از این‌رو، ارزیابی کیفی دانه‌ها و بررسی تنوع ژنتیکی معیارهای کیفیت نانوایی در لاین‌های حاصل از تلاقي‌ها حائز اهمیت است. به این منظور، الگوی نواری پروتئین‌های گلیادین در ۲۸ لاین اینبرد نوترکیب به همراه والدین و ۱۰ رقم تجاری، به روش A-PAGE مورد بررسی قرار گرفت. میزان تنوع بین و درون لاین‌ها و ارقام بر اساس الگوی نواری پروتئین‌های گلیادین با استفاده از روش AMOVA تعیین شد. تجزیه خوش‌ای نیز برای ارقام و لاین‌های اینبرد نوترکیب صورت گرفت. نتایج حاکی از وجود تنوع بالا در مکان‌های زنی کنترل‌کننده گلیادین با میانگین کل ۷۳/۹۶ درصد بود که درصد چندشکلی در لاین‌ها و ارقام تجاری به ترتیب ۹۱/۶۷ و ۵۶/۲۵ درصد برآورد شد. کمترین و بیشترین تعداد نوار گلیادین در ژنوتیپ‌های مورد مطالعه، به ترتیب ۱۲ و ۲۵ نوار بود. همچنین بر اساس آماره PhiPT اختلاف معنی‌داری از لحاظ الگوی پروتئین گلیادین بین ارقام تجاری و لاین‌های اینبرد نوترکیب در سطح احتمال ۵ درصد مشاهده شد. تجزیه خوش‌ای و آزمون تجزیه به مختصات اصلی با استفاده از الگوی نواری پروتئین‌های گلیادین به ترتیب منجر به تشکیل چهار و سه گروه متمایز شد و تا حدودی لاین‌ها را از ارقام مورد مطالعه تفکیک کردند. بیشترین تنوع در زیرواحد  $\omega$ -گلیادین‌ها مشاهده شد. به طور کلی با توجه به نتایج مطالعه حاضر چنین می‌توان گفت که  $\omega$ -گلیادین‌ها نقش بیشتری در تنوع مورد مشاهده در ژنوتیپ‌های مورد مطالعه و کیفیت نانوایی آن‌ها داشتند.

**واژگان کلیدی:** پروتئین ذخیره‌ای دانه، گلیادین، گندم نان، نشانگرهای مولکولی، A-PAGE

\* نویسنده مسئول، آدرس پست اکترونیکی: ss.alavikia@tabrizu.ac.ir

گلیادین‌ها توسط ۲ جایگاه ژنی *GLI-1* و *GLI-2* بر روی بازوی کوتاه گروه کروموزومی همیولوگ ۱ و ۶ در هر سه دسته کروموزومی (ABD) رمزگذاری می‌شوند (Tarekegn and Labuschagne, 2005; Pourmohammadi *et al.*, 2023). مکان ژنی *GLI-2* که بر روی بازوی کوتاه کروموزوم ۶ در هر سه دسته کروموزومی قرار دارد، گلیادین‌های نوع  $\alpha$  را در گندم هگزاپلولئید (*Triticum aestivum*) رمزگردانی می‌کند (Pourmohammadi *et al.*, 2023). سطح قابل توجهی از چند-شکلی آللی موجود در جایگاه‌های رمزگشته گلیادین‌ها در گندم، مربوط به موقع تکرارهای متوالی و واگرایی، کراسینگ‌آورهای نابرابر (Shewry *et al.*, 1995) و جهش‌های خود به خودی می‌باشد (Metakovský, 1987; Novoselskaya *et al.*, 1990; Upelnick *et al.*, 1995).

آل‌های زیرواحدهای پروتئین گلیادین، به عنوان نشانگرهای ژنتیکی کارآمد و قابل اعتماد در مطالعات ژنتیکی گندم مورد استفاده قرار می‌گیرند (Payne, 1987; Metakovský *et al.*, 1990; Branlard *et al.*, 2001; Menkovska *et al.*, 2002; Jakubauskiene and Juodeikine, 2005; Utebayev *et al.*, 2019). با توجه به اینکه هر ژنوتیپ گندم تقریباً الگوی الکتروفورز منحصر به فردی از گلیادین‌ها را نشان می‌دهد (Wrigley *et al.*, 1982; Sozinov and Popovelya, 1979)، از چندشکلی ژنتیکی مکان‌های ژنی رمزگردان گلیادین‌ها می‌توان برای انتخاب ژنوتیپ‌های برتر گندم با کیفیت دانه بالا استفاده کرد (Utebayev *et al.*, 2019). الگوی نواری گلیادین‌ها بسته به عوامل محیطی یا رشد تغییر نمی‌کند و قابل تکرار است؛ بنابراین برای هر ژنوتیپ انحصاری می‌باشد (Melnikova *et al.*, 2012) برای مطالعه ژرمپلاسم گندم مفید است (Melnikova *et al.*, 2012; Utebayev *et al.*, 2019) چندشکلی پروتئین‌های گلیادین، از آن‌ها به طور گسترده برای شناسایی ارقام هگزاپلولئید و تترابلولئید گندم استفاده می‌شود (Benmoussa, 2000). همچنین مطالعه ژنتیکی (Bushuk and Zillman, 1978; Knežević *et al.*, 2017) مناسب برای ارزیابی و شناسایی آلل‌های گلیادین روشی می‌باشد (Knežević *et al.*, 2017).

## مقدمه

نان مهم‌ترین و پرمصرف‌ترین محصول غذایی تهیه شده از آرد گندم است و پروتئین دانه آن در تعیین کیفیت نانوایی از اهمیت بالایی برخوردار است، به طوری که برخی از پروتئین‌های ذخیره‌ای دانه بر کیفیت نان، تأثیر بسزایی نشان داده‌اند. در این میان، کیفیت دانه و آرد گندم بهشت به ساختار گلوتن استگی دارد که مخلوط پیچیده‌ای از پروتئین‌ها است. گلوتن معمولاً به دو گروه اصلی گلیادین‌ها و گلوتین‌ها طبقه‌بندی می‌شود. گلیادین‌ها بر ماهیت چسبناکی خمیر تأثیر می‌گذارند، در حالی که گلوتین‌ها در کشسانی و استحکام خمیر نقش دارند (Utebayev *et al.*, 2019; Abedi and Pourmohammadi, 2020ab; Gholami Farahabadi *et al.*, 2021).

گلیادین‌ها بخش هتروژن پروتئین‌های ذخیره‌ای دانه (Bietz and Wall, 1973; Zilic, 2013; Wang *et al.*, 2020) و ۴۰ تا ۳۰ درصد از پروتئین کل آرد را تشکیل می‌دهند (Metakovský *et al.*, 1984). همچنین گلیادین‌ها، حدود ۵۰ درصد از پروتئین گلوتن گندم را تشکیل می‌دهند و سبب ایجاد انعطاف (plasticity) در ساختار گلوتن و خاصیت روان‌روی (viscosity) در خمیر می‌شوند (Metakovský *et al.*, 1984; Wang *et al.*, 2020). گلیادین‌ها یک مخلوط ناهمگن از پروتئین‌های محلول در الكل هستند و شامل چهار زیرواحد  $\alpha$ ,  $\beta$ ,  $\gamma$  و  $\omega$  می‌باشند (Lakhneko *et al.*, 2020). با استفاده از روش SDS-PAGE محدوده وزن مولکولی گلیادین‌ها ۸۰ تا ۳۰ کیلو‌دانلون تعیین شده است. وزن مولکولی زیرواحدهای  $\omega$ -گلیادین در محدوده ۴۶ تا ۷۴ کیلو‌دانلون است که البته در مطالعات دیگر این محدوده ۵۵ تا ۷۵ کیلو‌دانلون گزارش شده است (Kasarda *et al.*, 1983; Békés *et al.*, 2017; Metakovský *et al.*, 2018). زیرواحدهای  $\alpha$ ,  $\beta$  و  $\gamma$  گلیادین دارای وزن مولکولی کمتری نسبت به زیرواحد  $\omega$ -گلیادین هستند (Kasarda *et al.*, 1983)، به طوری که  $\alpha$ -گلیادین‌ها ۲۵ تا ۳۵ کیلو‌دانلون،  $\beta$ -گلیادین‌ها، ۳۰ تا ۳۵ کیلو‌دانلون و  $\gamma$  گلیادین‌ها ۴۰ تا ۴۵ کیلو‌دانلون وزن دارند (Békés *et al.*, 2017; Metakovský *et al.*, 2018; Zang *et al.*, 2022).

گرم ساکاروز و ۳ میلی‌گرم متیل ویوله که با آب مقطر به حجم ۱۲/۵ میلی‌لیتر رسانده شده بود، اضافه شد. در این مرحله، نمونه‌ها به مدت یک ساعت در دمای اتاق نگهداری و هر ۱۵ دقیقه یکبار توسط ورتکس همگن شدند. سپس نمونه‌ها در دمای ۴ درجه سانتی‌گراد به مدت ۱۵ دقیقه با شدت ۱۰۰۰۰ دور در دقیقه سانتریفیوژ شدند. در نهایت مایع شفاف بالایی حاصل که حاوی پروتئین گلیادین بود به دقت با استفاده از سمپلر به میکروتیوب دیگر انتقال و در دمای ۲۰-۲۰ درجه سانتی‌گراد در فریز نگهداری شد.

جهت انجام الکتروفورز (A-PAGE)، ۱۲ میکرولیتر از عصاره پروتئینی استخراجی در چاهک‌های ژل تزریق و تانک ژل به دستگاه مولد نیروی برق با شدت جریان ثابت ۳۰ میلی‌آمپر وصل شد. به منظور رنگ‌آمیزی نوارهای پروتئینی از ترکیب دو محلول "الف" (حاوی ۰/۵ گرم آبی کوماسی در ۱۲۵ میلی‌لیتر اتانول ۹۵ درصد) و محلول "ب" (شامل، ۱۵ گرم TCA در ۱۵۰ میلی‌لیتر آب مقطر) استفاده شد. محلول رنگ‌آمیزی شامل ۱۵ میلی‌لیتر از محلول "الف" + کل محلول "ب" بود. این مرحله ۱۲ ساعت به طول انجامید. در نهایت جهت رنگبری و مشاهده بهتر نوارهای پروتئینی، ژل در آب مقطر به مدت ۶ ساعت رنگبری شد.

فرمول گلیادینی لاین‌ها و ارقام تجاری مورد مطالعه به روش بوشاک و زلمن (Bushuk. and. Zillman, 1978) مشخص شد. برای این منظور با استفاده از نوار ۵۰ گلیادین گندم مارکوئیس به عنوان شاهد (شکل ۱)، فاصله نسبی هر نوار از مبدأ محاسبه گردید. سپس بر اساس حضور و عدم-حضور نوار پروتئینی فوق، به ترتیب اعداد یک و صفر برای نمره‌دهی الگوی گلیادین هر ژنوتیپ مورد استفاده قرار گرفتند. جهت تعیین فاصله نسبی هر نوار پروتئینی از مبدأ از فرمول زیر استفاده شد:

$$\times ۵۰ = \frac{\text{فاصله مطلق نوار از مبدأ (میلی‌متر)}}{\text{فاصله مطلق نوار مرجع از مبدأ (میلی‌متر)}} \times \text{حرکت نسبی نوار پروتئینی}$$

سپس به وسیله نرمافزار GenAIEx 6.4 بر روی فایل نمره‌دهی حاصل از الگوی نواری گلیادین ژنوتیپ‌ها تجزیه

(et al., 2007). استفاده از الگوی الکتروفورزی پروتئین دان گندم در مطالعات متعددی مانند ارزیابی تنوع ژنتیکی به واسطه آل‌های گلیادین (Utebayev et al., 2019)، بررسی اثرات گلیادین و گلوتنین بر خصوصیات فناورانه Pourmohammadi et al., (2023)، ارزیابی الگوی پروتئینی ارقام ستی و مدرن گندم جهت تعیین اثرات بالینی آن‌ها (Zilic et al., 2013) و همچنین استفاده از الکتروفورز پروتئین جهت شناسایی غلات مورد توجه بوده است (Wrigley et al., 1982; Afkar et al., 2021).

با توجه به اهمیت پروتئین گلیادین، هدف از این مطالعه بررسی تنوع بین و درون ژنوتیپ‌ها بر اساس الگوی نواری پروتئین گلیادین است.

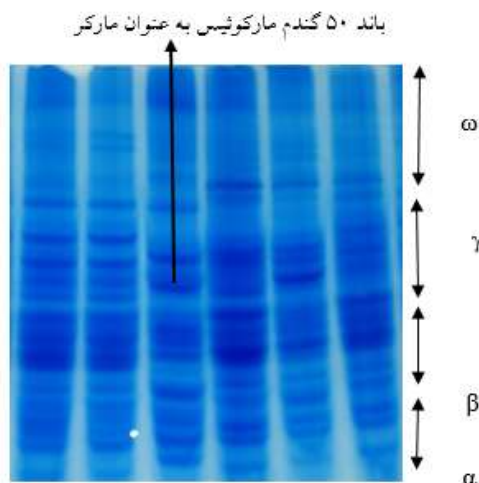
## مواد و روش‌ها

در این مطالعه که طی سال ۱۳۹۴ در دانشگاه تبریز انجام شد، ۲۸ لاین اینبرد نوترکیب (F<sub>6</sub>) حاصل از تلاقی ارقام گندم زاگرس و نورستان به همراه والدین و ۱۰ رقم تجاری گندم (آمید، بزوستایا، روشن، زرین، سبلان، سرداری، گاسکوژن، نوید، اینیا و هیرمند) از نظر تنوع الگوی پروتئین گلیادین بررسی شدند. الگوی نواری رقم گندم استاندارد مارکوئیس به عنوان شاهد و معیار حرکت نسبی نوارها مورد استفاده قرار گرفت.

جهت بررسی الگوی نواری پروتئین ذخیره‌ای گلیادین از الکتروفورز ژل آکریل آمید حاوی اسیدلاکتیک با pH = ۳/۱ بر اساس روش لافیندرا و کاساردا (Lafiandra and Kasarda, 1985) استفاده گردید (مواد شیمیایی مورد استفاده در تهیه و استخراج پروتئین متعلق به شرکت مرک بودند). به منظور تهیه و استخراج پروتئین‌های گلیادین از هر نمونه گندم، ۴ تا ۵ بذر به طور تصادفی انتخاب و با استفاده از هاون چینی کوییده و سپس با استفاده از غربال ۰/۵ میلی‌متری الک شدند و ۱۰ میلی‌گرم از آرد هر نمونه توزیں و در میکروتیوب ریخته شد. سپس روی هر نمونه، ۱۰۰ میکرولیتر محلول بافر استخراج شامل ۳/۹ میلی‌لیتر ۲/۵ دی‌متیل فرمامید (DMF) (Dimethylformamide: DMF)،

فراوانی بودند (جدول ۱). با توجه به الگوی کلی نوارهای گلیادین که به چهار بخش  $\alpha$ ,  $\beta$ ,  $\gamma$  و  $\omega$  تفکیک شده بود، تنوع بالایی بین ژنتوتیپ‌ها مشاهده شد به طوری که بیشترین تنوع مربوط به بخش  $\omega$  بود (شکل ۱ و جدول ۲). تنوع بالا در بخش  $\omega$ -گلیادین در الگوی نواری گلیادین گندم‌های Medouri مطالعه شده در الجزیره نیز گزارش شده است (Desheva *et al.*, 2015). در پژوهش دشاوا و همکاران (Desheva *et al.*, 2021) که در آن به بررسی الگوی پروتئین گلیادین ۲۲ ژنتوتیپ گندم پرداخته شده بود نتایج نشان تنوع ژنتیکی بالایی بر اساس گلیادین محلول در الكل برای ژنتوتیپ‌های مورد بررسی نشان داد. همچنین در مطالعه مذکور بخش گلیادین  $\gamma$  و به دنبال آن  $\alpha$  بیشترین تنوع ژنتیکی را دارا بودند و کمترین تغییرات مربوط به بخش  $\omega$  بود (Desheva *et al.*, 2021). در مطالعه حاضر بر اساس درصد فراوانی نوارها در چهار بخش گلیادین، ژنتوتیپ‌های دارای ۷ نوار پروتئینی در بخش  $\omega$ -گلیادین، ۴ نوار پروتئینی در بخش‌های  $\gamma$  و  $\beta$ -گلیادین و ۵ نوار پروتئینی در بخش  $\alpha$ -گلیادین، بیشترین فراوانی را داشتند (شکل ۲). تجزیه واریانس مولکولی الگوی نواری گلیادین مقادیر واریانس بین و درون‌گروهی را به ترتیب ۳۷۴۱ و ۱۱/۸۲۹ برآورد کرد که بیانگر بالا بودن تنوع درون دو گروه لاین‌های اینبرد نوترکیب و ارقام تجاری بود (جدول ۳). این یافته‌ها با نتایج اکبری و همکاران (Akbari *et al.*, 2017) که تنوع لاین‌های اینبرد فوق را بر اساس الگوی گلوتینین ارزیابی کرده بودند، مطابقت داشت. شاید بتوان این امر را به تأثیر گذاری بیشتر نوارهای  $\omega$  که بیشترین تعداد نوار را در بین چهار گروه دارا بود و همچنین به ارتباط  $\omega$ -گلیادین‌ها با  $\gamma$  گلیادین‌ها (Payne, 1987; Gao *et al.*, 2007) نسبت داد. البته مقدار آماره PhipT برابر با ۰/۲۲۰ به دست آمد که در سطح احتمال ۵ درصد معنی‌دار بود و نشان داد که بین دو گروه لاین‌های اینبرد نوترکیب و ارقام تجاری نیز اختلاف معنی‌دار از نظر الگوی نواری گلیادین وجود دارد (جدول ۳).

واریانس مولکولی (AMOVA) انجام شد و با معرفی ارقام و لاین‌ها به عنوان گروههای مجزا، مقادیر واریانس‌های درون‌گروهی و بین گروهی، محتوای چندشکلی (Polymorphic Information Content: PIC) محاسبه شد. تجزیه به مختصات اصلی نیز برای تفکیک ژنتوتیپ‌ها از لحاظ ساختار الگوی گلیادین با استفاده از نرم‌افزار مذکور انجام شد. جهت تجزیه و تحلیل خوش‌های از نرم‌افزار MEGA5 استفاده شد. به این منظور، ماتریس ارائه شده بر اساس فاصله ژنتیکی Nie توسط نرم‌افزار GenAlEx 6.4 به نرم‌افزار MEGA5 معرفی و سپس دندروگرام ترسیم شد. به منظور رسم نمودار دایره‌ای و تعیین درصد فراوانی نوارهای پروتئینی بخش‌های  $\omega$ ,  $\gamma$ ,  $\alpha$  و  $\beta$  گلیادین‌ها از نرم‌افزار Excel استفاده شد.

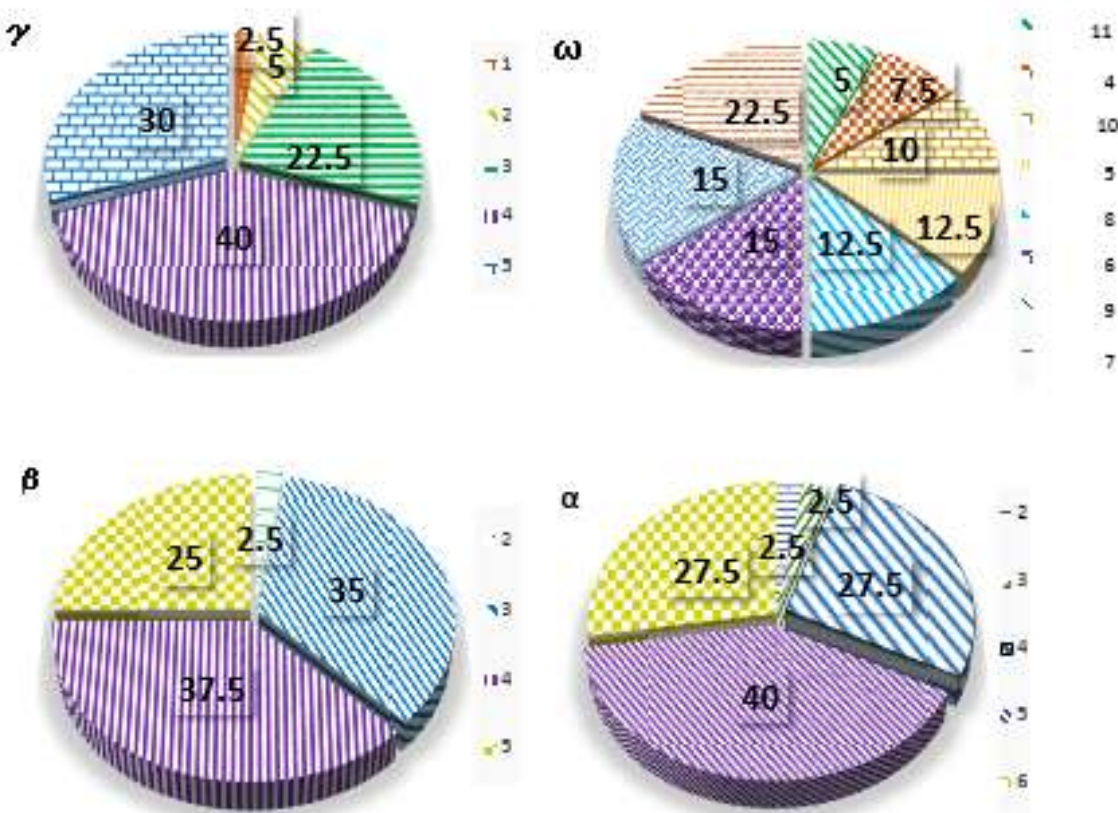


شکل ۱- الگوی نواری پروتئین گلیادین در گندم‌های مورد مطالعه

Figure 1. Banding pattern of gliadin proteins in the studied wheats

## نتایج و بحث

بر اساس نتایج، تعداد نوار پروتئینی گلیادین مشاهده شده، در ارقام تجاری مورد مطالعه بین ۱۲ تا ۲۵ و در لاین‌ها بین ۱۶ تا ۲۴ نوار بود. ارقام دارای ۲۰ و ۲۵ نوار پروتئینی ۱۷/۶ (درصد) و لاین‌های اینبرد نوترکیب دارای ۲۳ نوار پروتئینی (۲۱/۴۲ درصد)، بیشترین فراوانی را به خود اختصاص دادند. در مجموع، ژنتوتیپ‌های دارای ۲۳ نوار پروتئینی در بخش گلیادین با ۱۷/۵ درصد دارای بیشترین



شکل ۲- درصد فراوانی نوارهای پروتئینی بخش‌های  $\gamma$ ,  $\omega$ ,  $\alpha$  و  $\beta$  گلیادین‌ها. گندم‌های مورد مطالعه در بخش  $\omega$  بین ۴ تا ۱۱ نوار پروتئینی نشان دادند. همچنین در بخش  $\gamma$  ۱ تا ۵ نوار، در بخش  $\beta$  ۲ تا ۵ و در نهایت در بخش  $\alpha$  ۲ تا ۶ نوار پروتئین گلیادین مشاهده شده که فراوانی مشاهده شده در هر بخش در نمودار دایره‌های ارائه شده است.

Figure 2. The frequency of protein bands of the  $\omega$ ,  $\gamma$ ,  $\alpha$  and  $\beta$  gliadins. The wheat genotypes showed between 4 and 11 protein bands in the  $\omega$  gliadin. Also, 1 to 5 bands of gliadin proteins were observed in the  $\gamma$  gliadin, 2 to 5 bands in the  $\beta$  gliadin, and finally, 2 to 6 bands of gliadin protein were observed in the  $\alpha$  gliadin.

جدول ۱- درصد گلیادین‌ها در لاین‌های اینبرد نوترکیب و ارقام تجاری مورد مطالعه

Table 1. Percentage of gliadins in recombinant inbred lines and commercial cultivars

تعداد نوار Band number	فراوانی Frequency	درصد Percentage	ارقام Cultivars		لاین‌ها Lines	
			فراوانی Frequency	درصد Percentage	فراوانی Frequency	درصد Percentage
12	1	2.5	1	8.3	0	0
13	1	2.5	1	8.3	0	0
16	3	7.5	1	8.3	2	7.1
17	3	7.5	1	8.3	2	7.1
18	4	10	1	8.3	3	10.7
19	4	10	1	8.3	3	10.7
20	6	15	2	16.6	4	14.2
21	5	12.5	1	8.3	4	14.2
22	2	5	0	0	2	7.1
23	7	17.5	1	8.3	6	21.42
24	2	5	0	0	2	7.1
25	2	5	2	16.6	0	0

جدول ۲- تعداد نوارهای انواع گلیادین در ارقام تجاری و لاین‌های اینبرد نوترکیب

Table 2. Number of different gliadins' bands of commercial cultivars and RILs

نوع Type	نام ژنوتیپ Genotype name	تعداد کل نوار Total band number	$\omega$	$\gamma$	$\beta$	$\alpha$
ارقام تجاری Commercial cultivars	گاسکوژن (Gascojen)	16	7	2	3	4
	هیرمند (Hirmand)	18	7	3	3	5
	زرین (Zarin)	13	5	1	3	4
	(Inia)	25	11	5	4	5
	نوید (Navid)	20	7	5	3	5
	امید (Omid)	12	4	3	3	2
	سرداری (Sardari)	21	9	3	4	5
	سبلان (Sabalan)	25	10	4	5	6
	روشن (Roshan)	20	7	4	4	5
	بزوستایا (Bezostaya)	23	7	5	5	6
لاین‌های اینبرد RILs	(Zagros)	17	6	4	3	4
	نورستار (Norestar)	19	8	3	3	5
	11	16	5	4	3	4
	17	20	6	3	5	6
	44	24	10	5	3	6
	49	18	6	4	4	4
	50	17	8	2	3	4
	51	19	7	3	5	4
	55	23	9	5	3	6
	60	21	7	5	4	5
نوترکیب RILs	83	22	9	4	3	6
	89	16	4	3	4	5
	97	23	8	5	4	6
	99	21	8	4	5	4
	114	21	6	3	5	4
	139	18	4	4	5	5
	140	19	6	4	3	6
	141	20	5	5	4	6
	142	22	9	4	3	6
	155	23	11	5	2	5
RILs	156	24	10	5	4	5
	205	23	9	4	4	6
	218	19	7	4	4	4
	220	23	9	5	4	5
	231	18	5	4	5	4
	262	21	7	4	5	5
	267	17	6	4	4	3
	271	20	8	3	4	5
	277	23	10	4	4	5
	287	20	5	5	5	5

جدول ۳- تجزیه واریانس مولکولی نوارهای گلیادین

Table 4. Analysis of the molecular variance of gliadin bands

منابع Source of variations	میانگین Mean of squares	برآورد Variance estimation	درصد واریانس Percent of variance	PhiPT	P-value
بین گروهها Among groups	67.950	3.341	22%	0.22	0.01
درون گروهها Within groups	11.829	11.829	78%		
کل Total	517.450	15.169			

چندشکل و ۲ نوار تکشکل توسط روش A-PAGE شناسایی شد (Desheva *et al.*, 2021).

تجزیه خوشهای با استفاده از الگوی نواری پروتئین‌های گلیادین و بر اساس فاصله ژنتیکی Nie بین ژنوتیپ‌ها بالا است. در گروه‌یک، لاینهای نوترکیب ۲۷۷، ۲۲۰، ۱۵۶، ۴۴، ۸۳ شد. در گروه‌یک، لاینهای نوترکیب ۱۷، ۲۳۱، ۱۳۹، ۲۸۷، ۱۱۴، ۵۱ قرار داشتند. گروه سوم، شامل لاینهای اینبرد نوترکیب ۲۱۸، ۲۶۷، ۱۴۰، ۲۶۲، ۱۵۵، ۵۵، ۹۷، ۲۶۲، ۲۶۲، ۱۴۲ و ۲۰۵ شد. در گروه شماره دو، لاینهای نوترکیب ۱۷، ۲۷۱، ۶۰، ۵۰، ۲۷۱، ۱۴۱ و ۸۹ بود. در گروه چهارم لاین اینبرد نوترکیب ۱۱ و ارقام تجاری اینیا، روشن، سبلان، هیرمند، نوید، گاسکوئن، سرداری، زاگرس، نورستان، امید و زرین قرار گرفتند (شکل ۳).

بر اساس نتایج تجزیه به مختصات اصلی، ارقام و ژنوتیپ‌ها در سه گروه قرار گرفتند (شکل ۴). در این تجزیه، سه بردار اول، ۸۱/۴۵ درصد از تغییرات کل را توجیه نمودند. بردار اول، ۳۵/۰۹ درصد؛ بردار دوم، ۲۲/۷۷ درصد و بردار سوم، ۲۰/۵۹ درصد از تغییرات را توجیه نمودند؛ ولی در حالت کلی به دلیل بالا بودن تنوع ژنتیکی درون‌گروهی و در نتیجه پایین بودن واریانس بین‌گروهی، فاصله ژنتیکی Nie بین ژنوتیپ‌ها نیز پایین و حدود ۰/۰۵۰ برآورد شد (شکل ۴). تجزیه خوشهای به‌غیر از لاین اینبرد نوترکیب شماره ۱۱ موفق شد ارقام تجاری را از لاینهای اینبرد متمایز کند و لی این کار به‌وسیله روش تجزیه به مختصات اصلی با موفقیت انجام نشد. چنانچه در شکل ۴ ملاحظه می‌شود، با پلات توسط مختصات اول و دوم (۶۰/۸۶ درصد از تغییرات کل) رسم شده است و ارقام تجاری و سایر لاینهای اینبرد نوترکیب گروه‌های سه و چهار حاصل از تجزیه خوشهای در فاصله بسیار نزدیک به هم قرار گرفته‌اند. هرچند این احتمال وجود دارد که اگر مختصات سوم نیز در گروه‌بندی استفاده می‌شد (عدم امکان در نرمافزار GenAIEx 6.4)، آنگاه گروه‌های سه و چهار متشکل در تجزیه خوشهای نیز از یکدیگر تفکیک می‌شدند.

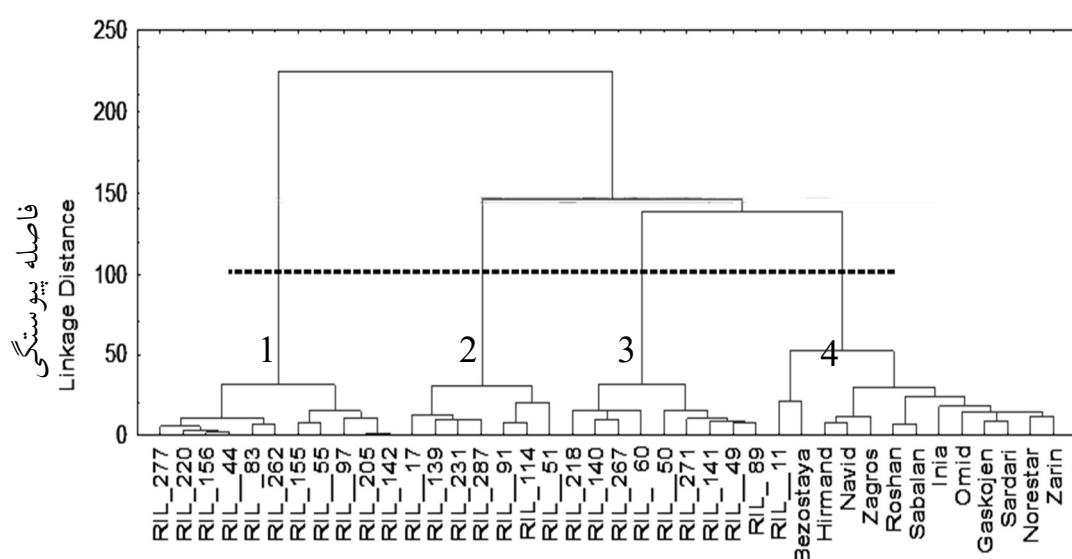
همچنین نتایج حاکی از بالا بودن تنوع ژنتیکی درون‌گروهی در لاینهای نوترکیب نسبت به ارقام تجاری بود. به‌طوری‌که تنوع درون‌گروهی لاینهای اینبرد نوترکیب از نظر الگوی پروتئین گلیادین حدود ۱/۵ برابر ارقام تجاری مورد مطالعه بود که این می‌تواند به‌دلیل نوترکیبی و تفکیک‌متجاوز حاصل از تلاقی والدین باشد؛ زیرا الگوی نواری پروتئین گلیادین دو والد لاینهای اینبرد نوترکیب با هم اختلاف داشتند. به‌طوری‌که زاگرس ۱۷ و نورستان ۱۹ نوار پروتئینی گلیادین داشتند و در سه بخش ۷ و ۶ نیز تعداد نوارها در والدین متفاوت بود. با این توضیح که ارقام زاگرس و نورستان در بخش ۷، بهترتبه ۶ و ۸، در بخش ۴ و ۳ و در بخش ۶ و ۵ نوار پروتئینی داشتند. علاوه‌بر اختلاف نوارهای پروتئینی، چندشکلی بالای گزارش شده در مورد مکان‌های ژنی کنترل‌کننده گلیادین (Metakovsky, 1987; Shewry *et al.*, 1995; Waga and Skoczowski, 2014) نیز امکان بالا بودن واریانس درون‌گروهی در لاینهای نوترکیب را تأیید می‌کند. درصد چندشکلی نوارهای گلیادین در لاینهای اینبرد نوترکیب بیشتر از ارقام تجاری مورد مطالعه بود؛ به‌طوری‌که درصد چندشکلی در لاینهای اینبرد نوترکیب ۹۱/۶۷ درصد و در ارقام تجاری مورد مطالعه ۵۶/۲۵ درصد به‌دست آمد و در کل نشان از تنوع درون‌گروهی بیشتر در بین لاینهای اینبرد نوترکیب داشت (جدول ۴). بالا بودن درصد چندشکلی همان‌طور که ذکر شد خصوصیتی مطلوب و مثبت در برنامه‌های اصلاحی برای شناسایی ارقام هگزاپلوئید و Benmoussa *et al.*, (2000) تراپلوازید گندم محسوب می‌شود.

چندشکلی بالا در تجزیه و تحلیل پروتئین‌های ذخیره‌ای گلیادین در گندم‌های نان ایرانی پیش‌تر گزارش شده بود و الگوهای پروتئینی خاصی از گلیادین‌ها برای مناطق مختلف مورد شناسایی و معرفی قرار گرفته است (Shahnejat, 2011 Bushehri *et al.*, 2011). در مطالعه مشابه دیگری، با بررسی ۲۰ الگوی نواری گلیادین، در مجموع ۵۱ نوار

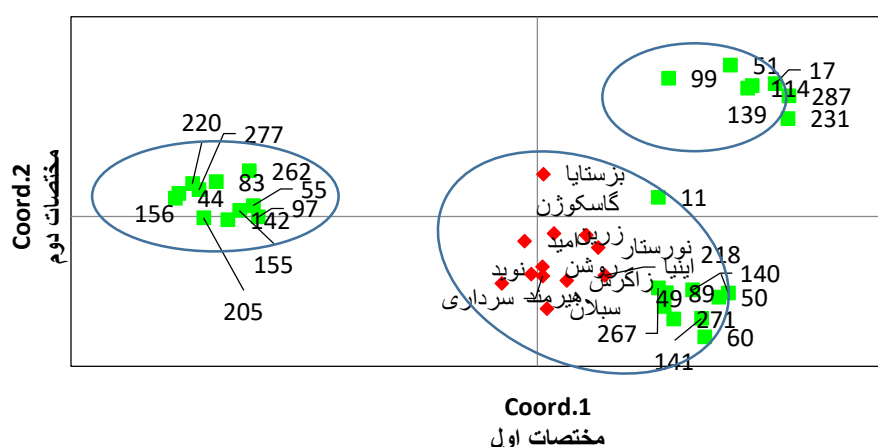
جدول ۴- مجموع و میانگین مربعات درون‌گروهی نوارهای پروتئینی گلیادین و درصد چندشکلی آن‌ها

Table 4. Within group sum and mean of squares of gliadin protein bands and their polymorphism percentage

نوع Type	فرابانی Frequency	درون‌گروهی Within group sum of squares	میانگین مربعات Within group mean of squares	درصد چندشکلی polymorphism percentage
لاین‌ها Lines	28	354.25	13.12	91.67%
ارقام Cultivar	12	95.40	8.659	56.25%



شکل ۳- تجزیه خوشه‌ای بر اساس الگوی نواری گلیادین‌ها  
Figure 3. Cluster analysis based on banding pattern of gliadins



شکل ۴- تجزیه به مختصات اصلی بر اساس الگوی نواری گلیادین‌ها

Figure 4. Principal Coordinate Analysis (PCoA) based on banding pattern of gliadins

-گلیادین‌ها نشان داد. تنوع به دست آمده حاکی از قابلیت

الگوی نواری گلیادین برای تفکیک ژنتیک‌ها از یکدیگر و

تحقیق حاضر به تبیعت از مطالعات قبلی تنوع بالایی را در

رباطه با الگوی نواری پروتئین‌های گلیادین به ویژه در بخش

زنوتیپ‌ها، ارقام و لاین‌های اینبرد نوترکیب را از یکدیگر تفکیک نمایند؛ بنابراین حتی به کمک الگوهای نواری گلیادین می‌توان ارقام دور و البته مناسب را برای ایجاد نسل‌های در حال تفرق، جهت اصلاح کیفیت نانوایی در گندم نان را به صورت مطلوب‌تری انتخاب کرد.

## References

- Abedi, E. and Pourmohammadi, K.** (2020a). Chemical modifications and their effects on gluten protein: an extensive review. *Food Chemistry*, **343**: 128398.
- Abedi, E. and Pourmohammadi, K.** (2020b). The effect of redox agents on conformation and structure characterization of gluten protein: an extensive review. *Food Science & Nutrition*, **12**: 6301-6319.
- Afkar, S., Hadi, F. and Jafari, A.A.** (2021). Investigation of intera- and interspecies variation of festuca using seed protein electrophoresis. *Plant Genetic Researches*, **8**: 45-56 (In Persian).
- Akbari, N., Alavi Kia, S.S., Majid Norozi, M. and Valizadeh, M.** (2017). Relationship between HMW-GS bands and bread making quality traits in recombinant inbred lines derived from a cross between Zagros and Norstar wheat varieties. *Cereal Research*, **7(2)**: 185-194 (In Persian).
- Benmoussa, M., Vezina, L.P., Pag, M., Yello, S. and Laberge, S.** (2000). Genetic polymorphism in low-molecular-weight glutenin genes from *Triticum aestivum*, variety Chinesespring. *Juornal Theoretical and Applied Genetics*, **100**: 789-793.
- Békés, F., Schoenlechner, R. and Tomoskozi, S.** (2017). Ancient wheats and pseudocereals for possible use in cereal-grain dietary intolerances. *Elsevier*, Amsterdam, DA.
- Bietz, J.A. and Wall, J.S.** (1973). Isolation and characterization of gliadin-like subunits from glutenins. *Cereal Chemistry*, **50**: 537-543.
- Branlard, G., Dardevet, M., Saccomano, R., Lagoutte, F. and Gourdone, F.** (2001). Genetic diversity of wheat storage proteins and bread wheat quality. *Euphytica*, **119**: 59-67.
- Bushuk, W. and Zillman, R.R.** (1978). Wheat cultivar identification by gliadin electropherograms. I. Apparatus, method and nomenclature. *Canadian Journal of Plant Science*, **58**: 505-515.
- Desheva, G., Kyosev, B., Sabeva, M. and Anol Deshev, M.** (2021). Genetic variation of gliadins and some quality characteristics in spelt wheat. *Bulgarian Journal of Agricultural Science*, **27(3)**: 541-554.
- Jakubauskiene, L. and Juodeikine, G.** (2005). The relationship between Protein fractions of wheat gluten and quality of ring-shaped rolls evaluated by echolocation method. *Food Technology and Biotechnology*, **43**: 247-253.
- Gao, S., Gu, Y.Q., Wu, J., Coleman-Derr, D., Huo, N., Crossman, C., Jia, J., Zuo, Q., Ren, Z., Anderson, O.D. and Kong, X.** (2007). Rapid evolution and complex structural organization in genomics regions harboring multiple prolamin genes in the polyploidy wheat genome. *Plant Molecular Biology*, **65**: 189-203.
- Gholami Farahabadi, M., Ranjbar, Gh., Dehestani Kalagar, A. and Bagheri, N.** (2021). Investigation of qualitative traits and genes expression involved in bakery quality for some of the bread's wheat doubled haploid lines. *Plant Genetic Researches*, **8**: 151-158 (In Persian).
- Kasarda, D.D., Autran, J.C., Lew, E.J.L., Nimmo, C.C. and Shewry, P.R.** (1983). N-terminal amino acid sequences of  $\omega$ -gliadins and  $\omega$ -secalins: Implications for the evolution of prolamin genes. *Biochimica et Biophysica Acta*, **747**: 138-150.
- Knežević, D., yurievna-Dragovich, Y.A., Zecević, N. and djukic, V.** (2007). Polymorphism of *Gli-A1* alleles in winter wheat cultivars (*Triticum aestivum* L.). *Kragujevac Journal of Sciences*, **29**: 139-147.
- Lafindra, D. and Kasarda, D.D.** (1985). One and two-dimensional. (two-ph) polyacrylamide gel electrophoresis in single gel: Separation of wheat proteins. *Cereal Chemistry*, **62**: 314-319.
- Lakhneko, O., Danchenko, M., Morgun, B., Kováč, A., Majerová, P. and Škultéty, L.** (2020). Comprehensive comparison of clinically relevant grain proteins in modern and traditional bread wheat cultivars. *International Journal of Molecular Sciences*, **10**: 3445.

کمک به انتخاب زنوتیپ‌های برتر از لحاظ کیفیت نانوایی در نتاج و لاین‌های حاصل از تلاقي‌های گندم است. به طور کلی نتایج مطالعه حاضر نشان داد که استفاده از الگوهای نواری گلیادین به همراه به کارگیری روش‌های مناسب آماری، می‌تواند با اعتبار بالایی گروه‌های مختلف

- Metakovsky, E.V., Wrigley, C.V., Bekes, F. and Gupta, R.B.** (1990). Gluten polypeptides as useful genetic markers of dough quality in Australian wheats. *Australian Journal Agriculture Research*, **41**: 289-306.
- Menkovska, M., Kneževic, D. and Ivanoski, M.** (2002). Protein allelic composition, dough rheology, and baking characteristics of flour mill streams from wheat cultivars with known and varied baking qualities. *Cereal Chemistry*, **79(5)**: 720-725.
- Melnikova, N.V., Kudryavtseva, A.V. and Kudryavtsev, A.M.** (2012). Catalogue of alleles of gliadin-coding loci in durum wheat (*Triticum durum* Desf.). *Biochimie*, **94**: 551-557.
- Metakovsky, E.V., Novoselskaya, A.Y., Kopus, M.M., Sobko, T.A. and Sozinov, A.A.** (1984). Blocks of gliadin components in winter wheat detected by one-dimensional polyacrylamide gel electrophoresis. *Theoretical and Applied Genetics*, **67**: 559-568.
- Metakovsky, E.V.** (1987). Organization, Variability and Stability of the Family of the Gliadin-Coding Genes in Wheat: Genetic Data. Proc. 3rd. Intern. Workshop on Glut. Prot. Budapest, Hungary.
- Metakovsky, E., Melnik, V., Rodriguez-Quijano, M., Upelniek, V. and Carrillo, J.M.**, (2018). A catalog of gliadin alleles: polymorphism of 20th-century common wheat germplasm. *The Crop Journal*, **6**: 628-641.
- Medouri, A., Bellil, I. and Douadi Khelif, D.** (2015). The genetic diversity of gliadins in *Aegilops geniculata* from Algeria. *Czech Journal of Genetics and Plant Breeding*, **51(1)**: 9-15.
- Novoselskaya, A.Y., Metakovsky, E.V., Sutka, J. and Galiba, G.** (1990). Spontaneous and induced genetic variability in gluten proteins in bread wheat. 4<sup>th</sup> Intern. Workshop on Glut. Prot. Winnipeg, MB, Canada.
- Payne, P.I.** (1987). Genetics of wheat storage proteins and the effect of allelic variations on bread making quality. *Annual Review of Plant Physiology*, **38**: 141-153.
- Pourmohammadi, K., Abedi, E. and Bagher Hashemi, S.M.** (2023). Gliadin and glutenin genomes and their effects on the technological aspect of wheat-based products. *Current Research in Food Science*, **7**: 100622.
- Shewry, P.R., Napier, J.A. and Tatham, A.S.** (1995). Seed storage proteins: structures and biosynthesis. *Plant Cell*, **7**: 945-956.
- Shahnejat Bushehri, A.A., Salavati, A., Yazdi Samadi, B., Hassani, M.E. and Shahnejat Bushehri, S.** (2011). Analyses of monomeric storage proteins "gliadins" in Iranian bread wheats. *Cereal Research Communications*, **39(1)**: 100-108.
- Sozinov, A.A. and Popereya, F.A.** (1979). Prolamin polymorphism and plant breeding. *Building Agriculture Science*, **10**: 21-34.
- Tarekegne, A. and Labuschagne, M.T.** (2005). Relationship between high molecular weight glutenin subunit composition and gluten quality in Ethiopian-grown bread durum wheat cultivars and lines. *Journal. Agronomy and Crop Science*, **191**: 300-307.
- Upelniek, V.P., Novoselskaya, A.Y., Sutka, J., Galiba, G. and Metakovsky, E.V.** (1995). Genetic variation at storage protein-coding loci of common wheat (cv 'ChineseSpring') induced by nitrosoethyl urea and by the cultivation of immature embryos in vitro. *Theoretical and Applied Genetics*, **90**: 372-379.
- Utebayev, M., Dashkevich, S., Bome, N., Bulatova, K. and Shavrukov, Y.** (2019). Genetic diversity of gliadin-coding alleles in bread wheat (*Triticum aestivum* L.) from Northern Kazakhstan. *PeerJ*, **7**: e7082.
- Wang, D., Li, F., Cao, S. and Zhang, K.** (2020). Genomic and functional genomics analyses of gluten proteins and prospect for simultaneous improvement of end-use and health-related traits in wheat. *Theoretical and Applied Genetics*, **5**: 1521-1539.
- Waga, J. and Skoczowski, A.** (2014). Development and characteristics of x-gliadin-free wheat genotypes Development and characteristics of x-gliadin-free wheat genotypes. *Euphytica*, **195**: 105-116.
- Wrigley, C.W., Autran, J.C. and Bushuk, W.** (1982). Identification of cereal varieties by gel electrophoresis of the grain proteins. *Cereal Science and Technology*, **5**: 211-259.
- Zang, P., Gao, Y., Chen, P., Lv, C., Zhao, G.** (2022). Recent advances in the study of wheat protein and other food components affecting the gluten network and the properties of noodles. *Foods*, **11**: 3824.
- Zelic, S.** (2013). *Wheat Gluten: Composition and Health Effects. Gluten*. Nova Science Publishers, New York, USA.